

# Лекция 5: Волны в магнитоактивной плазме

Кочаровский Вл.В.

Институт прикладной физики РАН, Нижний Новгород

4-ая Школа современной астрофизики, Пущино, 7-18 июля 2008г.

## Квазиодномерное распределение частиц

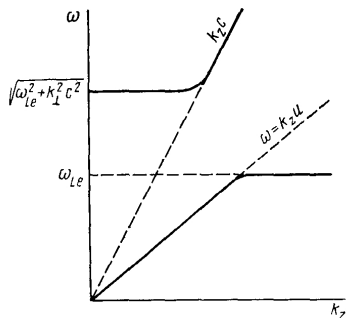
Одномерное распределение частиц, устанавливающееся в результате магнитотормозного излучения:

$$f(\mathbf{p}, t \rightarrow \infty) = \frac{N}{m_e c} \left( 1 + \frac{p_{\parallel}^2}{m_e^2 c^2} \right)^{-3/2} \frac{\delta(p_{\perp})}{2\pi p_{\perp}}.$$

Продольные плазменные волны с  $\mathbf{k} \parallel \mathbf{B}_0$  описываются следующим дисперсионным уравнением

$$\frac{\omega^2}{k^2} = \frac{c^2}{4} \left( \frac{ck}{\tilde{\omega}_L} + \frac{\tilde{\omega}_L}{ck} \right)^2 > c, \quad \tilde{\omega}_L^2 = \frac{3\pi}{4} \omega_L^2.$$

# Взаимодействие пучка с медленной волной в плазме с сильным магнитным полем



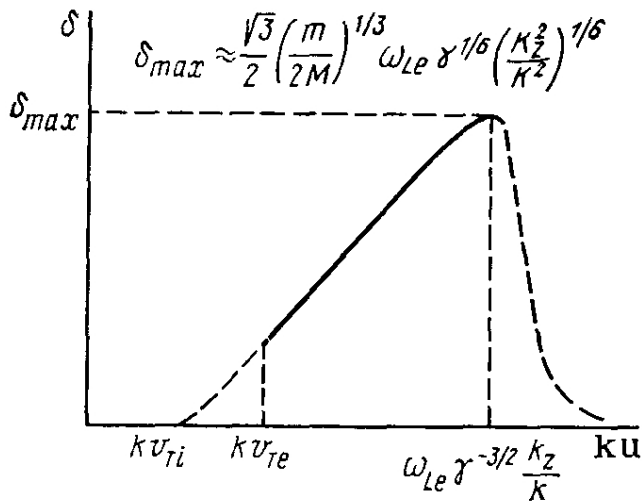
Дисперсионное уравнение:

$$k_{\perp}^2 + \left( k_z^2 - \frac{\omega^2}{c^2} \right) \times \left( 1 - \frac{\omega_L^2}{\omega^2} - \frac{\omega_b^2 \gamma^{-3}}{(\omega - k_z u)^2} \right) = 0.$$

Неустойчива медленная волна, искаженная пучком, при  $\omega_L^2 - k_{\perp}^2 u^2 \gamma^2 > 0$ :

$$\omega \approx k_z u + \frac{-1 + i\sqrt{3}}{2} \cdot \frac{k_z u}{\gamma} \left( \frac{N_b}{2N_p} \right)^{1/3} \left[ 1 + \frac{k_{\perp}^2 u^2}{\omega_L^2} \gamma^2 (\gamma^2 - 1) \right]^{-1/3}$$

Ослабление бунемановской неустойчивости  $\omega_L^2 \geq k^2 u^2 \gamma^3$  сильным продольным магнитным полем ( $\mathbf{B}_0 \parallel \mathbf{u}$ ).



# Вейбелевская неустойчивость в магнитоактивной плазме с функцией распределения “waterbag”

$$F(p_{\perp}, p_z) = H(p_0 - p)H(p_{z0} - \|p_z\|)$$

$$H(x) = \begin{cases} 1, & x > 0, \\ 0, & x < 0. \end{cases}$$

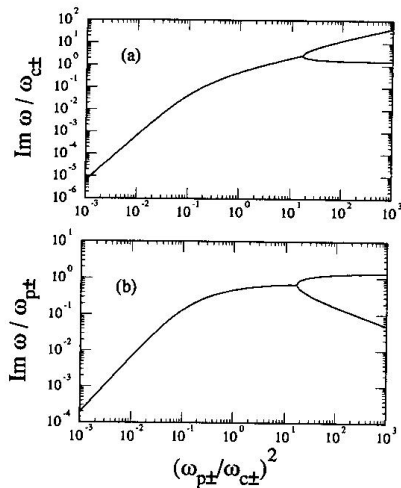


FIG. 5. The short-wavelength-limit ( $ck/\omega_{c\pm} \gg 1$ ) growth rate versus the normalized plasma frequency-squared  $(\omega_{p\pm}/\omega_{c\pm})^2$  for the waterbag distribution function with zero parallel temperature and  $\gamma_0=100$ . The growth rates are measured in units of (a) the relativistic cyclotron frequency  $\omega_{c\pm}$  and (b) the relativistic plasma frequency  $\omega_{p\pm}$ .

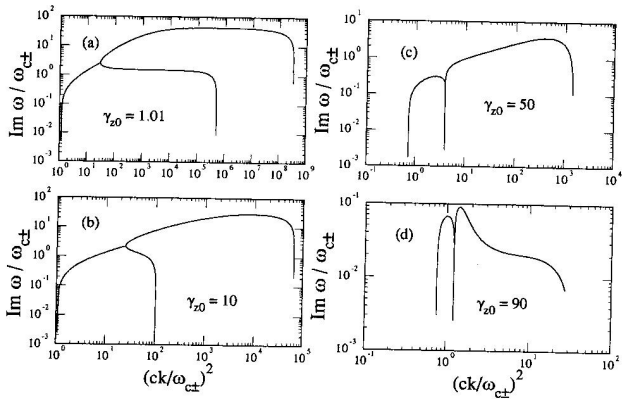


FIG. 6. The normalized growth rates  $\text{Im } \omega / \omega_{c\pm}$  versus normalized wave numbers-squared  $(ck / \omega_{c\pm})^2$  for the waterbag distribution function with  $(\omega_{p\pm} / \omega_{c\pm})^2 = 10^3$ ,  $\gamma_0 = 100$ , and four different values of  $\gamma_z^0$ , i.e., (a)  $\gamma_z^0 = 1.01$ , (b)  $\gamma_z^0 = 10$ , (c)  $\gamma_z^0 = 50$ , and (d)  $\gamma_z^0 = 90$ .

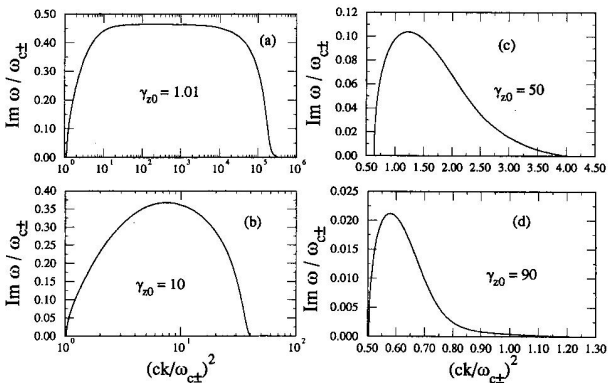


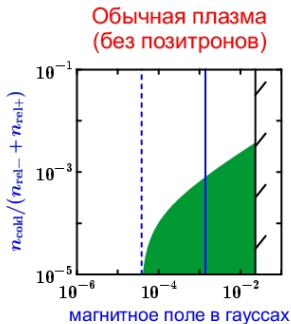
FIG. 7. The normalized growth rates  $\text{Im } \omega / \omega_{c\pm}$  versus normalized wave numbers squared  $(ck/\omega_{c\pm})^2$  for the waterbag distribution function with  $(\omega_{p\pm}/\omega_{c\pm})^2 = 1$ ,  $\gamma_0 = 100$ , and four different values of  $\gamma_{z0}$ , i.e., (a)  $\gamma_{z0}^2 = 1.01$ , (b)  $\gamma_{z0}^2 = 10$ , (c)  $\gamma_{z0}^2 = 50$ , and (d)  $\gamma_{z0}^2 = 90$ .



# Поляризация излучения джетов активных ядер галактик

Интерферометрические радионаблюдения показывают, что в основании джет представляет собой последовательность отдельных ярких компонент, и позволяют вычислить их параметры - яркостную температуру и угол поворота плоскости поляризации излучения. За угол поворота принимают разность углов между плоскостями поляризации при переходе от данной частоты к более высоким частотам, где эффект Фарадея заведомо мал. Характерные значения угла поворота - порядка градуса, а яркостной температуры - порядка  $10^{10}$  К.

Идея определения состава плазмы основана на том, что интенсивность излучения источника в джете зависит от суммы концентраций релятивистских электронов и позитронов, но не от концентрации холодной фракции. Угол поворота, напротив, задается разностью концентраций релятивистских электронов и позитронов (частицы с разными знаками заряда вращают плоскость поляризации в разные стороны) и весьма чувствителен к концентрации нерелятивистских электронов.



Диаграммы построены для двух предельных случаев: присутствуют только холодная фракция и релятивистские электроны (но без позитронов) или холодная фракция сочетается с релятивистскими электрон-позитронными парами.

# Перенос поляризованного излучения в магнитоактивной плазме

Электромагнитная волна частоты  $\omega$  удовлетворяет волновому уравнению:

$$\nabla \times (\hat{\mu}^{-1} \cdot \nabla \times \mathbf{E}) = \frac{\omega^2}{c^2} \hat{\epsilon} \mathbf{E}.$$

Используем предположения:

- Слабая анизотропия — пренебрегаем отклонением траектории лучей от прямолинейной.
- Волна распространяется вдоль оси  $\mathbf{Z}$ .
- Внешнее магнитное поле постоянно.
- Считаем, что  $\hat{\mu}^{-1}$  диагонален и не зависит от  $z$ .
- Среда плавно неоднородна, т.е. масштаб изменения концентрации  $N_\rho$  много больше длины волны:  $N_\rho \omega / c \gg 1$ .

## Волновое уравнение. Попутные волны

Пусть  $\mathbf{E} = e^{ik_0 z} \mathbf{A}$ . Полагая выполненным приближение медленно меняющейся амплитуды  $|d\mathbf{A}/dz| \ll k_0 |\mathbf{A}|$ , где  $k_0 \equiv \omega/c$ , приходим к системе уравнений

$$\begin{aligned}\frac{dA_x}{dz} &= \frac{ik_0}{2\mu_{11}^{-1}} [(\epsilon_{11} - \mu_{11}^{-1})A_x + \epsilon_{12}A_y + \epsilon_{13}A_z], \\ \frac{dA_y}{dz} &= \frac{ik_0}{2\mu_{22}^{-1}} [\epsilon_{21}A_x + (\epsilon_{22} - \mu_{22}^{-1})A_y + \epsilon_{23}A_z], \\ A_z &= -\frac{\epsilon_{13}A_x + \epsilon_{23}A_y}{\epsilon_{33}}.\end{aligned}$$

Будем рассматривать поперечные волны. Перепишем систему

$$\frac{d}{dz} \begin{pmatrix} A_x \\ A_y \end{pmatrix} = -ik_0 \begin{pmatrix} \sigma_{11} & \sigma_{12} \\ \sigma_{21} & \sigma_{22} \end{pmatrix} \begin{pmatrix} A_x \\ A_y \end{pmatrix}$$

## Волновое уравнение. Общий случай

Монохроматические волны в неоднородной среде описываются в виде системы дифференциальных уравнений первого порядка:

$$\mathbf{e}' = -iT\mathbf{e}.$$

Здесь через  $\mathbf{e}$  обозначен  $N$ -компонентный вектор-столбец комплексных полевых переменных  $A_\alpha (\alpha = \overline{1, N})$ ; квадратная матрица  $T = T(\zeta)$  определяется локальными свойствами среды. Штрих обозначает дифференцирование по безразмерной пространственной переменной  $\zeta = k_0 z$ .

Определим для матрицы  $T$  в каждой точке среды полную систему собственных векторов  $\mathbf{e}_j$  — нормальные волны, для которых  $\mathbf{e}_j \mathbf{e}_j^* = 1$ , и их собственные значения — показатели преломления  $n_j$  с помощью уравнения

$$T\mathbf{e}_j = n_j \mathbf{e}_j.$$

# Линейное взаимодействие волн

Воспользуемся канонической заменой

$$\mathbf{e} = \sum_{i=1}^N f_i \vec{\mathcal{E}}_i, \quad \vec{\mathcal{E}}_i = \Phi_i \mathbf{e}_i,$$

и перейдем к уравнениям для комплексных амплитуд взаимодействующих волн

$$f_i' + in_i f_i = \sum_{j=1}^N a_{ij} f_j, \quad a_{ij} = -\vec{\mathcal{E}}_j' \cdot \vec{\mathcal{E}}_i'^*.$$

При переходе использована взаимная (к  $\vec{\mathcal{E}}$ ) система векторов  $\vec{\mathcal{E}}_i'^*$ ,  $\vec{\mathcal{E}}_j' \cdot \vec{\mathcal{E}}_i'^* = \delta_{ij}$ . Множители  $\Phi_i$  определяются из условия  $a_{ii} \equiv -\vec{\mathcal{E}}_i' \cdot \vec{\mathcal{E}}_i'^* = 0$ .

## Уравнения переноса

Пусть коэффициенты связи действительны и  $a_{12} = -a_{21} = -\Psi$ . Величина  $\Psi = -(dq/dl)/(2(q^2 + 1))$  таким образом описывает эффективность взаимодействия. Тогда, для квадратичных комбинаций комплексных амплитуд ( $f_1, f_2$ ) нормальных волн  $J_{ij} = f_i f_j^*$  можно получить следующие уравнения переноса:

$$\begin{aligned} J'_{11} &= -2J_{11}(\text{Im}n_1) - \Psi(J_{12} + J_{21}), \\ J'_{22} &= -2J_{22}(\text{Im}n_2) + \Psi(J_{12} + J_{21}), \\ J'_{12} &= -iJ_{12}(n_2^* - n_1) + \Psi(J_{11} - J_{22}). \end{aligned} \quad (1)$$

Пренебрегая  $\Psi$ , можем получить геометрикооптические уравнения переноса нормальных волн:

$$\begin{aligned} J'_1 &= -2J_1(\text{Im}n_1), \\ J'_2 &= -2J_2(\text{Im}n_2). \end{aligned}$$

## Функция источников

Уравнения полученные выше не содержат источников излучения.

Уравнения переноса в общем случае имеют вид:

$$\frac{d\mathbf{J}}{ds} = -\hat{M}\mathbf{J} + \mathbf{S}_{sc} + \mathbf{S}_{em}.$$

Здесь  $\mathbf{S}_{sc}$  описывает перерассеянное в выбранное направление излучение:

$$\mathbf{S}_{sc} = \int \hat{R}(\Omega', \omega' \rightarrow \Omega, \omega) \mathbf{J}(\Omega', \omega') d\Omega' d\omega'.$$

$\mathbf{S}_{em}$  описывает собственное излучение среды

$$\mathbf{S}_{em} = \frac{k_o B_\omega}{2} (\mu_1, \mu_2, i(n_2^* - n_1))^+.$$



# Граничные условия для полубесконечной атмосферы

- Нет излучения, падающего извне

$$J_i(\cos \theta < 0, \tau = 0) = 0.$$

- Термализация излучения в глубине атмосферы:

$$J_i(\cos \theta > 0, \tau \rightarrow \infty) \rightarrow \frac{B_\omega}{2} = \frac{\hbar\omega^3}{8\pi^3 c^2} \frac{1}{\exp(\hbar\omega/(kT)) - 1}.$$

## Перенос излучения в магнитоактивной плазме

Уравнение переноса излучения в линии электронного гирорезонанса

$$\cos \theta \frac{dI(\beta, \theta)}{dz} = -\mu_c [I(\beta, \theta) - S], \quad \mu_c = \frac{1 + \cos^2 \theta}{|\cos \theta|} \sqrt{\frac{\pi}{8}} \frac{\omega_L^2 \omega_B}{\omega^2 \beta_{T\parallel}} \exp \left\{ -\frac{\beta^2}{\beta_{T\parallel}^2} \right\}$$

$$S = \frac{1}{1 + \epsilon} \int_0^\pi \frac{3}{8} (1 + \cos^2 \theta') I(\theta') \sin \theta' d\theta' + \frac{\epsilon}{1 + \epsilon} \frac{B_\omega}{2}.$$

Здесь  $\epsilon = \nu_{\text{eff}}/\gamma \propto N$  - отношение времени спонтанного циклотронного перехода электрона к времени между столкновениями,

$$\beta = (\omega - \omega_B)/(\omega \cos \theta), \quad \beta_{T\parallel} = \sqrt{kT_{\parallel}/mc^2},$$

$N = N_0 \exp(-z/H)$ ,  $H = 2kT/(m_p g)$  - приведенная высота атмосферы. Сила давления излучения:

$$f_{\text{rad}} = \frac{\pi}{N} \frac{\omega_B}{mc^2} \int_{-\infty}^{\infty} d\beta \int_{-1}^1 \mu_c(\beta, \theta) I(\beta, \theta) |\cos \theta| \cos \theta d \cos \theta.$$

## Перенос излучения в магнитоактивной плазме

$$\epsilon = \epsilon_0 \tau_{sc}, \quad \epsilon_0 \ll 1,$$

$$\text{Рассеяние: } \mu_{sc} = C \cdot N,$$

$$\tau_{sc} = -C \int_z^{\infty} N_0 \exp\left(-\frac{z}{H}\right) dz = CHN,$$

$$\text{Поглощение: } \mu_{ab} = \epsilon \mu_{sc},$$

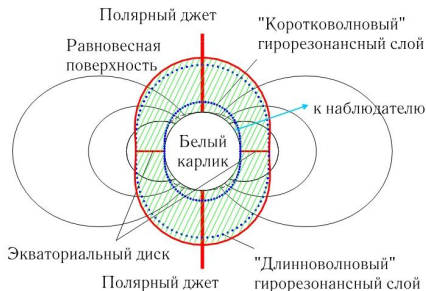
$$\tau_{ab} = C \epsilon_0 \int N^2 dl \propto \epsilon_0 \tau_{sc}^3.$$

Оценочное решение уравнений переноса для рассеивающих атмосфер:

$$I \approx \frac{B_\omega}{2} \frac{1}{1 + \frac{A}{\sqrt[3]{\epsilon_0}}}, \quad A \approx 1.$$

# Радиационное давление в атмосферах компактных звезд

## Модель радиационного диска.

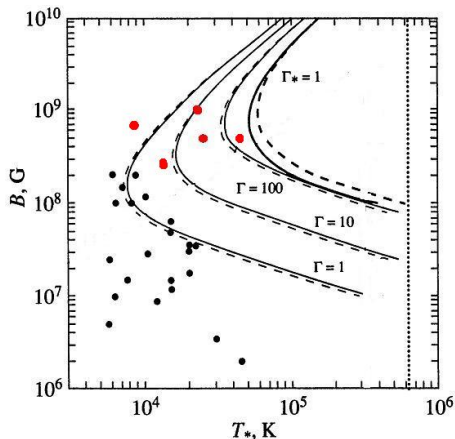


- Горячий магнитный белый карлик  $B \sim 10^7 - 10^9$  Гс
- Фотосфера из которой вытекает ветер, порождаемый циклотронным излучением
- Протяженная плазменная оболочка
- Полярные джеты, ускоряемые давлением циклотронного излучения вдоль магнитной оси

## Наблюдательные проявления

- Широкая и глубокая полоса депрессии
- Биполярное истечение вещества

# Критическая температура белых карликов

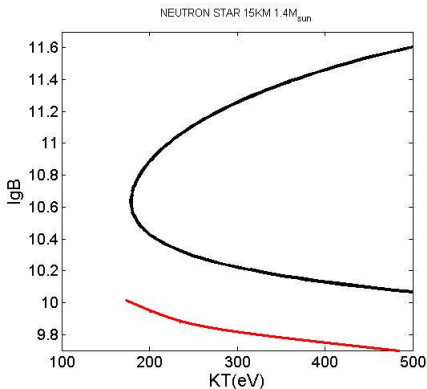


## Сила давления циклотронного излучения на магнитных белых карликах

- Фотосфера водородного магнитного белого карлика.
- $g = 10^8 \text{ см/с}$ ,  $R = 10^9 \text{ см}$ .
- Кандидаты: RE J0317-853, GD 229, PG1031+234, GrW+708247, SBC 1349+5434, LB 11176.
- Сплошные линии для  $\theta = 0$ , штриховые для  $\theta = \pi/2$ .

Точками показаны параметры известных магнитных белых карликов. Тонкими кривыми показаны линии уровня 1, 10 и 100 отношения  $\Gamma = f_{rad}(\tau = 0)/f_g$  для случая, когда интенсивность выходящего излучения равна чернотельной.

# Критическая температура нейтронных звезд



## Сила давления циклотронного излучения на магнитных нейтронных звездах

- Водородная атмосфера нейтронной звезды.
- $M = 1.4M_{\odot}$ ,  $R = 1.5 \cdot 10^6$  см.
- Учет поляризации вакуума и релятивистских поправок к условию циклотронного резонанса.

Справа от черной кривой располагается область неустойчивости статической атмосферы, вызванной давлением циклотронного излучения. Снизу от красной кривой - область, где влиянием ухода излучения из линии можно пренебречь.

# Намагничение вакуума. Основные уравнения

Тензор диэлектрической и обратной магнитной проницаемостей:

$$\begin{aligned}\epsilon_{ik}^{(vac)} &= \delta_{ik}(1 - 2a) + 7a \frac{B_i B_k}{B^2}, \\ \mu_{ik}^{-1(vac)} &= \delta_{ik}(1 - 2a) - 4a \frac{B_i B_k}{B^2},\end{aligned}$$

при этом предполагается, что выполнено условие  $a \ll 1$ , где

$$a = \frac{1}{45\pi} \frac{e^2}{\hbar c} \left( \frac{B}{B_{cr}} \right)^2, \quad B_{cr} = m^2 c^3 / \hbar e \simeq 4.4 \cdot 10^{13} \text{ Гс.}$$

# Волны в системе "плазма + намагниченный вакуум"

$$K = -i \frac{E_y}{E_x}, \quad K_{1,2} = q \pm \sqrt{q^2 + 1},$$

$$\frac{dK}{dz} = i \frac{n_2 - n_1}{K_2 - K_1} (K - K_1)(K - K_2),$$

$$n_{1,2} = 1 + \frac{11}{2} a \sin^2 \theta - \frac{v(2 - u \sin^2 \theta)}{2(1 - u)} \pm \frac{v\sqrt{u} \cos \theta}{u - 1} \sqrt{q^2 + 1}$$

$$u = \frac{\omega_B^2}{\omega^2}, \quad v = \frac{\omega_L^2}{\omega^2}, \quad \omega_B = \frac{eB}{mc}, \quad \omega_L = \sqrt{\frac{4\pi e^2 m}{N}}.$$

$$q = \frac{\sqrt{u} \sin^2 \theta}{2 \cos \theta} \left[ 1 - \frac{3a(u - 1)}{vu} \right],$$



# Трансформация мод в системе "плазма + намагниченный вакуум"

$$q = \frac{\sqrt{u} \sin^2 \theta}{2 \cos \theta} \left[ 1 - \frac{3a(u-1)}{vu} \right],$$

$$\Lambda_q = |q^{-1} dq/dz|_{q^2=1}^{-1}.$$

$$\left| 1 - \frac{1}{3} \frac{vu}{a} (u-1) \right| \ll 1,$$

$$G_V^\perp = 12\sqrt{2}k_0 a u^{-1} \operatorname{ctg}^2 \theta \left| \frac{v}{dv/dl} \right|_{q^2 \sim 1}, \quad u < 1, \quad v \ll 1,$$

$$Q^\perp = \exp\left(-\pi G_V^\perp / (4\sqrt{2})\right), \quad \text{при } dv/dl = \text{const},$$

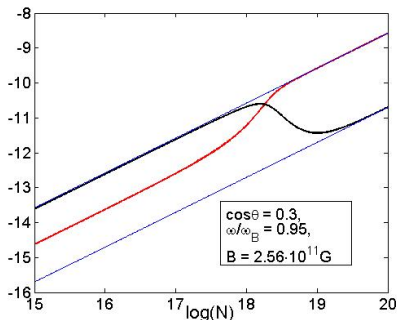
$$G_V^\perp \lesssim 1 \Rightarrow \hbar\omega_B \lesssim 1 \text{кэВ}, \quad N_0 \sim 10^{20} \text{см}^{-3}.$$

# Намагничение вакуума. Простейшие следствия

- Двухлучепреломление в "чистом вакууме"

$$n_{1,2} = 1 + \frac{a}{4} \sin^2 \theta (11 \pm 3).$$

- Изменение поляризации, показателей преломления и поглощения нормальных волн в магнитоактивной плазме.



## Условие гирорезонанса. Общие уравнения

Пусть продольный импульс электрона до взаимодействия с фотоном равен  $P$ . Условие резонансного поглощения фотона, связывающее его частоту и угол распространения с продольным импульсом электрона:

$$\frac{\hbar\omega}{mc^2} + \sqrt{1 + \left(\frac{P}{mc}\right)^2 + \left(\frac{2\hbar\omega_B}{mc^2}\right)l} = \sqrt{1 + \left(\frac{Pc + \hbar\omega \cos\theta}{mc^2}\right)^2 + \left(\frac{2\hbar\omega_B}{mc^2}\right)(l+1)}. \quad (2)$$

Здесь  $l$  - номер уровня Ландау, на котором находился электрон до поглощения фотона.

## Условие гирорезонанса. Нерелятивистский случай

$$\omega(1 - \beta \cos \theta) = \omega_B$$

- Фотоны всегда взаимодействуют с одной и той же резонансной группой электронов.

## Условие гирорезонанса. Слаборелятивистское приближение

$$\omega\left(1 - \beta \cos \theta + \frac{\beta^2}{2}\right) = \omega_B(1 - \kappa(\sin^2 \theta - 2l)). \quad (3)$$

Это условие при  $l = 0$  дает, вообще говоря, два значения скорости электронов, которые резонансным образом взаимодействуют с фотоном заданной частоты и угла распространения. В слаборелятивистском приближении эти скорости находятся как корни уравнения (3):

$$\beta_1 = \cos \theta + \sqrt{\cos^2 \theta - 2\left(1 - \frac{\omega_B}{\omega}(1 - \kappa \sin^2 \theta)\right)}, \quad (4)$$

$$\beta_2 = \cos \theta - \sqrt{\cos^2 \theta - 2\left(1 - \frac{\omega_B}{\omega}(1 - \kappa \sin^2 \theta)\right)}. \quad (5)$$

## ”Перескоки”

Взаимодействие с двумя группами электронов может приводить к весьма эффективному выходу фотонов из циклотронной линии. Для демонстрации этого факта рассмотрим рассеяние фотона с частотой и углом распространения  $\omega, \theta$  на электроне, движущемся со скоростью  $\beta_2$ , где  $|\beta_2| > |\beta_1|$ . В результате рассеяния фотон приобретает частоту  $\omega'$  и угол распространения  $\theta'$  и попадает в резонанс с электронами, имеющими не только скорость

$$\beta_2' = \beta_2 + 2\kappa(\cos \theta - \cos \theta'),$$

мало отличающуюся от первоначальной, но и другую скорость, которая может быть сильно смещена:

$$\beta_1' = 2 \cos \theta' - \beta_2.$$

В итоге, фотон, рассеянный, скажем, в направлении почти поперек магнитного поля, где линия наиболее узкая, может резонансно провзаимодействовать с более быстрым электроном и уйти из линии.

## Тензор диэлектрической проницаемости

В декартовой системе координат с осью  $Z$  вдоль магнитного поля и волновым вектором, лежащим в плоскости  $YZ$ :

$$\epsilon_{xx} = \epsilon_{yy} = 1 + i(b_- + b_+), \quad \epsilon_{xy} = -\epsilon_{yx} = b_- - b_+,$$

$$\epsilon_{zz} = 1 - \frac{\omega_L^2}{\omega(\omega + i\gamma)}, \quad \epsilon_{xz} = \epsilon_{zx} = \epsilon_{zy} = \epsilon_{yz} = 0;$$

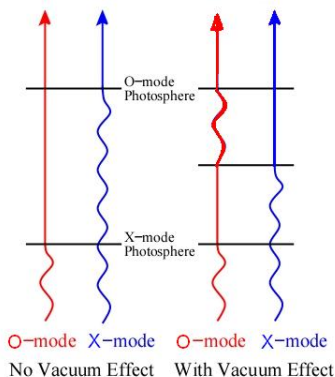
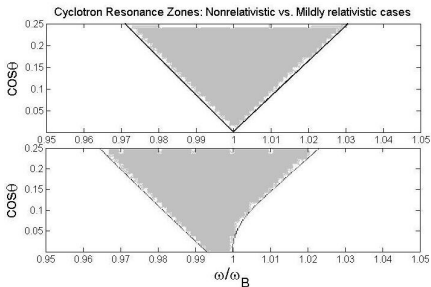
$$b_+ = \frac{i\omega_L^2}{2\omega^2(1 + \omega_B/(\omega + i\gamma))},$$

$$b_- = \frac{\sqrt{\pi}\omega_L^2}{4\omega^2\beta_T^2} \cdot \frac{\varpi(\xi_1) - \varpi(\xi_2)}{\xi_2 - \xi_1},$$

$$\xi_{1,2} = \frac{1}{\sqrt{2}\beta_T} \left( \cos\theta \pm \sqrt{\cos^2\theta - 2 \left( 1 - \frac{\omega_B}{\omega} \left( 1 - \kappa \sin^2\theta - i \frac{\gamma}{\omega_B} \right) \right)} \right),$$

$$\kappa = \frac{\hbar\omega}{2mc^2}, \quad \varpi(Z) = \frac{i}{\pi} \int_{-\infty}^{+\infty} \frac{e^{-y^2}}{Z - y} dy \quad - \text{функция Крампа.}$$

# Качественные эффекты учета влияния намагничивания вакуума и релятивистских эффектов



- Изменение поляризации нормальных волн за счет намагничивания вакуума может приводить к значительному увеличению силы давления излучения в атмосферах компактных звезд.
- Выход излучения из резонанса за счет релятивистских эффектов приводит к уменьшению силы давления излучения за счет уменьшения потока в центре линии.